

УДК 532.51

Скорость всплывания газового пузыря в трубе

Ю.Б. Зудин

*Московский государственный университет технологий
и управления им. К.Г. Разумовского*

E-mail: yzudin@gmail.com

При анализе задачи о гравитационном всплывании газового пузыря в трубе, заполненной идеальной жидкостью (пузырь Тейлора), в классических работах используются решения уравнения Лапласа, содержащие расходящиеся бесконечные ряды. В настоящей работе предлагается приближенный метод корректного анализа указанной задачи. Методом суперпозиции элементарных течений построено обтекание идеальной жидкостью тела вращения в трубе. Выполнение условия свободной поверхности в окрестности критической точки и предельный переход по основному параметру приводят к искомому выражению для безразмерной скорости всплывания пузыря — числу Фруда.

Ключевые слова: гравитационное всплывание, пузырь Тейлора, уравнение Лапласа, корректный анализ, метод суперпозиции, предельный переход, число Фруда.

Введение

Первые теоретические исследования задачи о всплывании пузыря Тейлора выполнены в классических работах [1, 2]. Насколько известно автору, эти работы оказались также и единственными аналитическими исследованиями указанной задачи. Основанные на экспериментальных исследованиях полуэмпирические формулы, описывающие влияние гравитации, вязкости и капиллярных сил на скорость всплывания пузыря Тейлора, приводятся в монографии [3] и статьях [4, 5]. В работе [6] проведено детальное численное исследование задачи для конкретных диапазонов параметров.

В работах [1, 2] при анализе задачи о всплывании пузыря Тейлора сделаны следующие допущения: вязкость не оказывает влияния на течение жидкости, капиллярным давлением на межфазной поверхности можно пренебречь, плотность газа в пузыре ничтожно мала по сравнению с плотностью жидкости. Тогда задача сводится к определению скорости всплывания пустой полости в гравитационном поле в вертикальной трубе, заполненной идеальной жидкостью. Течение жидкости описывается потенциалом скоростей φ , удовлетворяющим уравнению Лапласа:

$$\frac{\partial^2 \varphi}{\partial z^2} + \frac{1}{r} \frac{\partial}{\partial r} \left(r \frac{\partial \varphi}{\partial r} \right) = 0. \quad (1)$$

Здесь z, r — соответственно безразмерные осевая и радиальная координаты с радиусом трубы R в качестве масштаба длины. Метод разделения переменных дает два альтернативных типа решений уравнения (1):

$$\varphi = \sum_{k=1}^{\infty} (-1)^{k+1} \alpha_k J_0(\beta_k r) \exp(\beta_k z), \quad (2)$$

$$\varphi = \sum_{k=1}^{\infty} (-1)^{k+1} \alpha_k I_0(\beta_k r) \cos(\beta_k z). \quad (3)$$

Здесь $J_0(x), I_0(x)$ — соответственно обычная и модифицированная функции Бесселя нулевого порядка [7], α_k, β_k — собственные числа.

Рассмотрим обтекание покоящегося пузыря идеальной жидкостью с образованием критической точки. На границе пузыря должно выполняться условие свободной поверхности [8]. Из уравнения Бернулли для точки поверхности пузыря, находящейся на расстоянии $|z|$ от критической точки, следует:

$$U_s^2 + V_s^2 = 2gR_0|z|. \quad (4)$$

Здесь U_s, V_s — соответственно осевая и радиальная скорости жидкости, нижний индекс s обозначает условия на межфазной границе. На стенке трубы должно выполняться условие непротекания:

$$V_s|_{r=1} = 0. \quad (5)$$

В работах [1, 2] используется решение уравнения Лапласа типа (2). Вычисляя из (2) радиальную скорость $V = \partial\varphi/\partial r$

$$V = \sum_{k=1}^{\infty} (-1)^{k+1} \alpha_k \beta_k J_1(\beta_k r) \exp(\beta_k z) \quad (6)$$

и подставляя ее в (5), авторы [1, 2] получают уравнение для определения собственных чисел β_k : $J_1(\beta_k) = 0$.

Следует специально подчеркнуть, что в работах [1, 2] выражение (2) используется для описания течения жидкости во всем бесконечном интервале изменения осевой координаты: $-\infty < z < \infty$. Легко видеть, что при этом выражение вида (2) обнаруживает двойную расходимость: каждый член бесконечного ряда экспоненциально расходится на одном из двух полубесконечных интервалов (в зависимости от выбора направления оси z). Однако указанная некорректность не проявляется в явном виде в работах [1, 2], где были получены известные выражения для скорости всплывания пузыря Тейлора, хорошо согласующиеся с результатами экспериментальных исследований [3–5]. Возможной причиной этого является тот факт, что в своих выкладках авторы работ [1, 2] использовали лишь несколько первых членов бесконечного ряда (2). В настоящей работе излагается возможный приближенный метод корректного анализа указанной проблемы, отдельные этапы которого изложены в работах [9–11].

Суперпозиция элементарных течений

Расположим в начале координат источник интенсивностью Q с потенциалом скоростей φ_1 :

$$\varphi_1 = -\frac{Q}{4\pi} \frac{1}{(z^2 + r^2)^{1/2}}. \quad (7)$$

Осевая U_1 и радиальная V_1 компоненты скорости течения от источника будут иметь вид

$$U_1 = \frac{\partial \varphi_1}{\partial z} = \frac{Q}{4\pi} \frac{z}{(z^2 + r^2)^{3/2}}, \quad (8)$$

$$V_1 = \frac{\partial \varphi_1}{\partial r} = \frac{Q}{4\pi} \frac{r}{(z^2 + r^2)^{3/2}}. \quad (9)$$

Если поместить источник в гипотетическую трубу радиусом R , то ее стенки окажутся проницаемыми (рис. 1, *a*). Наложим на течение от источника течение вдува, удовлетворяющее условию

$$V_1|_{r=1} + V_2|_{r=1} = 0. \quad (10)$$

Выражение (10) представляет собой условие непротекания на стенке трубы.

Будем искать потенциал течения вдува в трубу φ_2 в виде

$$\varphi_2 = \int_0^{\infty} A(y) I_0(yr) \cos(yz) dy, \quad (11)$$

где $A(y)$ — неизвестная функция. Определяя из (11) радиальную скорость $V_2 = \partial \varphi_2 / \partial r$ и подставляя ее в (10), получаем:

$$\frac{Q}{4\pi} \frac{1}{(z^2 + 1)^{3/2}} = \int_0^{\infty} A(y) I_1(y) y \cos(yz) dy. \quad (12)$$

Вводя обозначения

$$f(z) = \frac{Q}{4\pi} \frac{1}{(z^2 + 1)^{3/2}}, \quad (13)$$

$$A(y) I_1(y) y = A_1(y), \quad (14)$$

перепишем (13) в виде

$$f(z) = \int_0^{\infty} A_1(y) \cos(yz) dy. \quad (15)$$

Равенство (15) есть представление функции $f(z)$ в виде косинус-интеграла Фурье [12]. Тогда функция

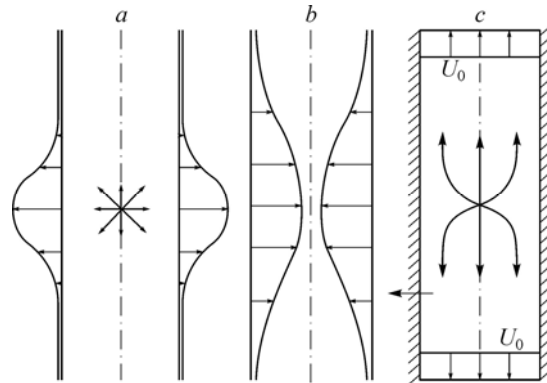


Рис. 1.

$A(y)$ может быть найдена из обратного преобразования Фурье:

$$A_1(y) = \frac{2}{\pi} \int_0^{\infty} f(\sigma) \cos(\sigma y) d\sigma = \frac{Q}{2\pi^2} \int_0^{\infty} \frac{\cos(\sigma y)}{(1+\sigma^2)^{3/2}} d\sigma. \quad (16)$$

С учетом значения табличного интеграла [13]

$$\int_0^{\infty} \frac{\cos(\sigma y)}{(1+\sigma^2)^{3/2}} d\sigma = y K_1(y), \quad (17)$$

из (14), (17) получаем:

$$A_1(y) = \frac{Q}{2\pi^2} y K_1(y), \quad (18)$$

$$A(y) = \frac{Q}{2\pi^2} \frac{K_1(y)}{I_1(y)}. \quad (19)$$

Здесь $K_1(y)$ — модифицированная функция Бесселя второго рода первого порядка [7]. С учетом (19) перепишем выражение (11) для потенциала скоростей течения вдува в виде

$$\varphi_2 = \frac{Q}{2\pi^2} \int_0^{\infty} \frac{K_1(y)}{I_1(y)} I_0(yr) \cos(yz) dy. \quad (20)$$

Используя свойство линейности уравнения Лапласа, определим течение от источника в трубе как суперпозицию течений от двух элементарных течений: $\varphi_1 + \varphi_2$ (рис. 1, b). При $z \rightarrow \pm\infty$ это течение асимптотически переходит в однородный поток, скорость которого U_0 связана с интенсивностью источника Q условием баланса массы: $U_0 = Q/(2\pi)$. Накладывая на полученное симметричное течение однородный поток интенсивностью U_∞

$$\varphi_3 = -U_\infty z, \quad (21)$$

получаем картину обтекания тела вращения в непроницаемой трубе. Таким образом, путем суперпозиции трех элементарных течений мы построили суммарное течение идеальной жидкости в трубе, потенциал скоростей которого $\varphi = \varphi_1 + \varphi_2 + \varphi_3$ запишется в виде (рис. 1, c):

$$\varphi = -\frac{U_0}{2} \frac{1}{(z^2 + r^2)^{1/2}} - \frac{U_0}{\pi} \int_0^{\infty} \frac{K_1(y)}{I_1(y)} I_0(yr) \cos(yz) dy - U_\infty z. \quad (22)$$

Найдем из (22) осевую ($U = \partial\varphi/\partial z$) и радиальную ($V = \partial\varphi/\partial r$) скорости суммарного течения:

$$U = \frac{U_0}{2} \frac{z}{(z^2 + r^2)^{3/2}} + \frac{U_0}{\pi} \int_0^{\infty} \frac{K_1(y)y}{I_1(y)} I_0(yr) \sin(yz) dy - U_\infty, \quad (23)$$

$$V = \frac{U_0}{2} \frac{r}{(z^2 + r^2)^{3/2}} - \frac{U_0}{\pi} \int_0^{\infty} \frac{K_1(y)y}{I_1(y)} I_1(yr) \cos(yz) dy. \quad (24)$$

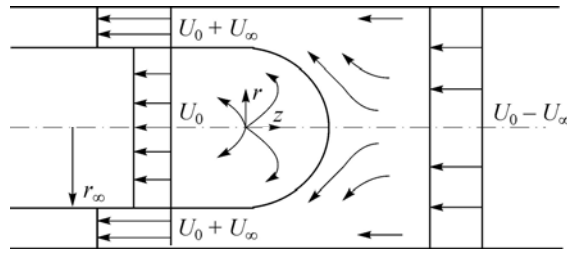


Рис. 2.

Функция тока суммарного течения запишется в виде

$$\psi = \frac{U_0}{2} \left[1 - \frac{z}{(z^2 + r^2)^{1/2}} \right] + \frac{U_0}{\pi} \int_0^\infty \frac{K_1(y)}{I_1(y)} r I_1(yr) \sin(yz) dy - \frac{U_\infty}{2} r^2. \quad (25)$$

Полагая в (25) $\psi = 0$, получаем уравнение, определяющее контур тела вращения (рис. 2):

$$r_s^2 = f^{-1} \left[1 - \frac{z_s}{(z_s^2 + r_s^2)^{1/2}} + \frac{2}{\pi} \int_0^\infty \frac{K_1(y)}{I_1(y)} r_s I_1(yr_s) \sin(yz_s) dy \right], \quad (26)$$

где

$$f = U_\infty / U_0 \quad (27)$$

параметр интенсивности источника.

Скорость натекания на тело при $z \rightarrow \infty$ будет равна $U_\infty - U_0 = U_0(f - 1)$. Скорость течения в зазоре между телом и стенкой трубы при $z \rightarrow -\infty$ составит $U_\infty + U_0 = U_0(f + 1)$. Тогда из условия баланса массы жидкости при $z \rightarrow \pm\infty$

$$U_\infty - U_0 = (U_\infty + U_0)(1 - r_{s\infty}^2) \quad (28)$$

получаем асимптотический радиус тела вращения при $z \rightarrow -\infty$ (рис. 2):

$$r_\infty = \sqrt{2/f + 1}. \quad (29)$$

Как видно из рис. 2, во внутренней области тела также будет иметь место течение с критической точкой и асимптотической скоростью U_0 при $z \rightarrow -\infty$. Однако ниже рассмотрим только внешнее обтекание тела. Из условия равенства нулю скорости в критической точке [8] из (23) имеем

$$f(\lambda) = \frac{1}{2\lambda^2} + \frac{1}{\pi} \int_0^\infty \frac{K_1(y)y}{I_1(y)} \sin(\lambda y) dy, \quad (30)$$

где λ — расстояние от тела вращения до источника (рис. 2). Величина λ играет роль основного параметра рассматриваемой задачи.

Течение в окрестности критической точки

Перейдем к осевой координате $\hat{z} = \lambda - z$, отсчитываемой от критической точки в сторону источника. Запишем разложения в ряд Тейлора при $\hat{z} \ll 1$ (с точностью до линейных членов) следующих величин:

осевой U и радиальной V скоростей:

$$U = -U'_z \hat{z} + U'_\rho \rho, \quad (31)$$

$$V = V'_r \hat{z} + U'_\rho r, \quad (32)$$

квадрата полной скорости на граничной линии тока:

$$U_s^2 + V_s^2 = -2 \frac{(U'_z)^3}{U''_z} \hat{z}, \quad (33)$$

уравнения граничной линии тока:

$$\rho_s = 2 r_k \hat{z}. \quad (34)$$

Здесь $\rho \equiv r^2$, штрих обозначает производную по координате, обозначенной нижним индексом. С учетом уравнения неразрывности в окрестности критической точки ($V'_r = U'_z/2$) выражение (32) можно переписать в виде:

$$V = -U'_z r/2. \quad (35)$$

Вместо (26) будем использовать асимптотическое уравнение контура тела (рис. 2), полученное из интеграла

$$\psi = \int_0^\infty U r dr = \frac{1}{2} \int_0^\infty U d\rho = 0. \quad (36)$$

Из (31), (36) получаем безразмерный радиус кривизны r_k в критической точке:

$$r_k = 2U'_z / U'_\rho. \quad (37)$$

Используя тождество $U'_\rho = -U''_{zz}/4$, перепишем (37) в виде:

$$r_k = -4U'_z / U''_{zz}. \quad (38)$$

Для того, чтобы перейти от обтекания твердого тела к обтеканию газового пузыря, необходимо удовлетворить условию свободной поверхности (4). Тогда с учетом (33) получаем:

$$-(U'_z)^3 / U''_{zz} = g R_0. \quad (39)$$

Введем новую функцию $h(\lambda)$, связанную с функцией $f(\lambda)$ соотношением

$$h(\lambda) = f(\lambda) - 1, \quad (40)$$

или, с учетом (30),

$$h(\lambda) = \frac{1}{2\lambda^2} - 1 + \frac{1}{\pi} \int_0^\infty \frac{K_1(y)y}{I_1(y)} \sin(y\lambda) dy. \quad (41)$$

Из (23), (30), (41) следует: $U'_z = U_0 h'$, $U''_{zz} = U_0 h''$. Здесь штрих означает производную по параметру λ . Скорость натекания жидкости W_∞ на пузырь при $z \rightarrow +\infty$ будет равна

$$W_\infty = U_\infty - U_0 = U_0 h. \quad (42)$$

В системе координат, в которой жидкость при $z \rightarrow +\infty$ покоится, величина W_∞ будет равна искомой скорости всплывания пузыря Тейлора. Определим число Фруда известным соотношением [1–5]:

$$\text{Fr} = W_\infty / \sqrt{gR}. \quad (43)$$

С учетом уравнений (41), (42) соотношения (29), (37), (43) принимают вид:

$$r_\infty = \sqrt{2/(2+h)}, \quad (44)$$

$$r_k = -4h'/h'', \quad (45)$$

$$\text{Fr} = \sqrt{h^2 h'' / (h')^3}. \quad (46)$$

Асимптотики решения

Рассмотрим асимптотики соотношений (44)–(46) по параметру λ .

При $\lambda \rightarrow 0$ из (41) следует:

$$h(x) = 1/2 \lambda^2 \rightarrow \infty. \quad (47)$$

Тогда из (43)–(45) получаем:

$$r_\infty \rightarrow 2\lambda, \quad (48)$$

$$r_k \rightarrow 4\lambda/3, \quad (49)$$

$$\text{Fr} \rightarrow \sqrt{3\lambda/4}. \quad (50)$$

Согласно (27), (30), при $\lambda \rightarrow 0$ интенсивность источника будет исчезающе мала по сравнению с интенсивностью однородного потока: $U_0 \ll U_\infty$.

Найдем теперь асимптотики соотношений (44)–(46) при $\lambda \rightarrow \infty$. Запишем разложение функции $I_1(y)$ в ряд Тейлора [13]:

$$I_1(y) = \sum_{k=1}^{\infty} \frac{y^{k+1}}{2^{2k+1} k!(k+1)!}. \quad (51)$$

Определим функцию $F(\lambda)$:

$$F(\lambda) = \int_0^{\infty} \frac{K_1(y)}{I_1(y)} \frac{y}{2} \sin(\lambda y) dy, \quad (52)$$

связанную с функцией $f(\lambda)$ соотношением

$$f(\lambda) = \frac{1}{2\lambda^2} + \frac{2}{\pi} F(\lambda). \quad (53)$$

Найдем из выражения (52) четные производные функции $F(\lambda)$ по основному параметру $F^{(2k)} = \partial^{2k} F / \partial \lambda^{2k}$:

$$\left. \begin{aligned}
 F^{(2)} &= - \int_0^{\infty} \frac{K_1(y)}{I_1(y)} \frac{y^3}{2} \sin(\lambda y) dy, \\
 F^{(4)} &= \int_0^{\infty} \frac{K_1(y)}{I_1(y)} \frac{y^5}{2} \sin(\lambda y) dy, \\
 F^{(6)} &= - \int_0^{\infty} \frac{K_1(y)}{I_1(y)} \frac{y^7}{2} \sin(\lambda y) dy, \\
 &\dots\dots\dots \\
 F^{(2k)} &= (-1)^k \int_0^{\infty} \frac{K_1(y)}{I_1(y)} \frac{y^{2k+1}}{2} \sin(\lambda y) dy, \\
 k &= 0, 1, 2, 3, \dots
 \end{aligned} \right\} \quad (54)$$

Домножая левую и правую части рекуррентного соотношения (54) на $\frac{(-1)^k}{2^{2k+1} k!(k+1)!}$

и складывая почленно члены $\frac{(-1)^k F^{(2k)}}{2^{2k+1} k!(k+1)!}$, получаем:

$$\sum_{k=0}^{\infty} \frac{(-1)^k}{2^{2k+1} k!(k+1)!} f^{(2k)} = \int_0^{\infty} \frac{K_1(y)}{I_1(y)} \left\{ \sum_{k=0}^{\infty} \frac{y^{k+1}}{2^{2k+1} k!(k+1)!} \right\} \sin(\lambda y) dy. \quad (55)$$

Мы видим, таким образом, что выражение в фигурных скобках под интегралом в (55) тождественно равно бесконечному ряду (51). Поэтому цепочка уравнений (54) может быть переписана в виде

$$\sum_{k=0}^{\infty} \frac{(-1)^k}{2^{2k+1} k!(k+1)!} F^{(2k)} = \int_0^{\infty} K_1(y) \sin(\lambda y) dy. \quad (56)$$

Интеграл в правой части уравнения (56) — табличный [13], следовательно:

$$\int_0^{\infty} K_1(y) \sin(\lambda y) dy = \frac{\pi}{2} \frac{\lambda}{\sqrt{1+\lambda^2}}. \quad (57)$$

Из (56), (57) следует линейное неоднородное дифференциальное уравнение бесконечного порядка:

$$\sum_{k=0}^{\infty} \frac{(-1)^k}{2^{2k+1} k!(k+1)!} F^{(2k)} = \frac{\pi}{2} \frac{\lambda}{\sqrt{1+\lambda^2}}. \quad (58)$$

В рекуррентном соотношении (58) справедливо тождество: $F^{(0)} \equiv F$. Из уравнения (58) получаем дифференциальное уравнение для функции $f(\lambda)$, определяемой соотношением (53):

$$\sum_{k=0}^{\infty} \frac{(-1)^k}{2^{2k+1} k!(k+1)!} f^{(2k)} = \sum_{k=0}^{\infty} \frac{(-1)^k (2k+1)!}{2^{2k+1} k!(k+1)!} \frac{1}{\lambda^{2(k+1)}} + \frac{\lambda}{\sqrt{1+\lambda^2}}. \quad (59)$$

Запишем разложение последнего члена в правой части уравнения (59) в степенной ряд при $\lambda \gg 1$

$$\frac{\lambda}{\sqrt{1+\lambda^2}} = 1 - \frac{1}{2} \frac{1}{\lambda^2} + \frac{3}{8} \frac{1}{\lambda^4} - \frac{5}{16} \frac{1}{\lambda^6} + \dots + \frac{(-1)^{k+1} (2k+1)!}{2^{2k+1} k!(k+1)!} \frac{1}{\lambda^{2(k+1)}} + \dots \quad (60)$$

Переписывая (60) в виде

$$\frac{\lambda}{\sqrt{1+\lambda^2}} = - \sum_{k=0}^{\infty} \frac{(-1)^k (2k+1)!}{2^{2k+1} k!(k+1)!} \frac{1}{\lambda^{2(k+1)}}, \quad (61)$$

убеждаемся в том, что два бесконечных ряда в правой части (59) при $\lambda \rightarrow \infty$ равны по абсолютной величине и имеют противоположные знаки. В результате получаем дифференциальное уравнение бесконечного порядка относительно функции $h(\lambda)$, определяемой (40):

$$\sum_{k=0}^{\infty} \frac{(-1)^k}{2^{2k+1} k!(k+1)!} h^{(2k)} = 0. \quad (62)$$

Решение линейного однородного дифференциального уравнения (62) может быть формально записано в виде бесконечного экспоненциального ряда [14]:

$$h = \sum_{k=1}^{\infty} C_k \exp(\pm \beta_k \lambda) = 0. \quad (63)$$

Здесь β_k — корни уравнения $J_1(\beta_k) = 0$, C_k — свободные числовые коэффициенты. Сходящееся при $\lambda \rightarrow \infty$ решение уравнения (62) будет выражаться рядом (63) с отрицательными показателями экспонент:

$$h = \sum_{k=1}^{\infty} C_k \exp(-\beta_k \lambda) = 0. \quad (64)$$

Переходя в (64) к пределу при $\lambda \rightarrow \infty$ и ограничиваясь первым членом ряда, получаем:

$$h = C_1 \exp(-\beta_1 \lambda), \quad (65)$$

где $\beta_1 = 3,83170597$ — первый нуль функции Бесселя первого порядка. С учетом асимптотического соотношения (65) формулы (29), (37), (46) принимают следующий вид:

$$r_{\infty} \approx 1 - (C_1/4) \exp(-\beta_1 \lambda) \approx 1, \quad (66)$$

$$r_k = 4/\beta_1 \approx 1,04, \quad (67)$$

$$\text{Fr} = \sqrt{1/\beta_1} \approx 0,511. \quad (68)$$

Формулы (66)–(68) описывают предельный случай: асимптотическая скорость от источника при $z \rightarrow \infty$ равна скорости однородного потока ($U_0 = U_{\infty}$), критическая точка $\hat{z} = \lambda$ удалена от координаты источника $\hat{z} = 0$ на бесконечное расстояние.

Уравнения (40), (59) для каждого значения основного параметра λ однозначно определяют функцию $h(\lambda)$, а следовательно, и интересующие нас остальные параметры, полученные в соотношениях (44)–(46). Отметим, что уравнение (62) справедливо лишь

асимптотически при $\lambda \rightarrow \infty$, поэтому постановка для него задачи Коши с начальными условиями при $\lambda=0$ принципиально невозможна. Следовательно, является невозможным также и определение коэффициентов C_k для (64). Однако при переходе от бесконечного ряда (64) к асимптотическому решению (65) соотношения (29), (37), (46) оказываются однородными по коэффициенту C_1 , поэтому последний при вычислении параметров r_∞, r_k, Fr сокращается.

Так как пузырь Тейлора по определению должен заполнять все сечение трубы [1–5], естественно принять за искомое выражение для числа Фруда асимптотическое значение (68). Последнее с точностью до 3 % совпадает с классическим результатом [1] $Fr=0,496$.

Заключение

Для решения задачи о всплывании пузыря Тейлора в круглой трубе использован метод суперпозиции элементарных течений, удовлетворяющих уравнению Лапласа: источника в объеме, вдува и однородного потока. Построено течение идеальной жидкости в трубе относительно тела вращения. Переход к задаче обтекания пузыря осуществлен путем выполнения условия свободной поверхности в окрестности критической точки. После выполнения предельного перехода по основному параметру (безразмерному расстоянию от критической точки до координаты источника) получено соотношение для искомой безразмерной скорости всплывания пузыря — числа Фруда.

Список литературы

1. Dumitrescu D.T. Strömung an einer Luftblase im senkrechten Rohr // Z. angew. Math. Mech. 1943. Bd. 23. P. 139–149.
2. Davies R.M., Taylor G.I. The mechanics of large bubbles rising through liquids in tubes // Proc. Royal Soc. London. 1950. A 200: 375–390.
3. Уоллис Г. Одномерные двухфазные течения. М.: Мир, 1972. 436 с.
4. Viana F., Pardo R., Yanez R., Trallero J., Joseph D.D. Universal correlation for the rise velocity of long gas bubbles in round pipes // J. Fluid Mech. 2003. Vol. 494. P. 379–398.
5. Fonda T., Joseph D.D., Mathura T., Yamashita S. Ellipsoidal model of the rise of a Taylor bubble in a round tube // Int. J. Multiphase Flow. 2004. Vol. 31. С. 473–491.
6. Волков П.К. Расчет локальных характеристик жидкости с пузырьками газа // Ж. вычисл. матем. и матем. физ. 1996. Т. 36, № 8. С. 180–194.
7. Грей Э., Мэтьюз Г.Б. Функции Бесселя и их приложения к физике и механике. М.: Изд-во иностранной литературы, 1953. 372 с.
8. Бэтчелор Дж. Введение в динамику жидкости. М.: Мир, 1973. 760 с.
9. Зудин Ю.Б. Аналог уравнения Релея для задачи о динамике пузыря в трубе // ИФЖ. 1992. Т. 63, № 1. С. 28–32.
10. Зудин Ю.Б. Расчет скорости всплывания крупных газовых пузырей // ИФЖ. 1995. Т. 68, № 1. С. 13–17.
11. Zudin Y.B. Theory of periodic conjugate heat transfer. 2nd Ed. Berlin, Heidelberg: Springer, 2011. 264 p.
12. Винер Н. Интеграл Фурье и некоторые его приложения. М.: Физматлит, 1963. 258 с.
13. Градштейн И.С. Рыжик И.М. Таблицы интегралов, сумм, рядов и произведений. М.: Наука, 1963. 1108 с.
14. Понтрягин Л.С. Обыкновенные дифференциальные уравнения. М.: Наука, 1970. 331 с.

Статья поступила в редакцию 15 ноября 2011 г.